

一种新的连珠棋局面表示法及其在六子棋中的应用

徐长明, 马宗民, 徐心和

(东北大学 信息科学与工程学院, 辽宁 沈阳 110004)

摘 要: 为了提高连珠棋局面的表示效率, 给出了一种基于棋形来描述棋子间联系的表示方法, 并在六子棋程序 NEUConn⁶ 中成功运用. 该方法不但紧凑、高效地描述了局面状态, 还方便了局面的增量更新; 此外, 它把在线计算转化为离线计算, 并且它很自然地把棋类知识和数据结构结合在一起. 该方法不限于六子棋, 可广泛用于别的连珠棋博弈程序.

关 键 词: 机器博弈; 连珠棋类; 数据结构; 棋形; 增量更新

中图分类号: TP 391

文献标识码: A

文章编号: 1005-3026(2009)04-0514-04

A New Board Representation Method for K -in-a-row Games with Its Application to Connect⁶

XU Chang-ming, MA Zong-min, XU Xin-he

(School of Information Science & Engineering, Northeastern University, Shenyang 110004, China.

Correspondent: XU Chang-ming, E-mail: changmingxu@gmail.com)

Abstract: A new method is proposed to improve the efficiency of the representation of the game situation, based on the pattern to describe the relationships among stones on a k -in-a-row game position. It has been used successfully in our Connect⁶ program (NEUConn⁶) to not only describe the state of a position efficiently but also cater for the incremental updating. This method can transform some online calculations into offline. Furthermore, it is a natural way to integrate the game knowledge with the data structure. Not limited to Connect⁶, the method can be adopted in other k -in-a-row games.

Key words: computer games; k -in-a-row; data structure; pattern; incremental updating

机器博弈^[1]是人工智能领域的重要分支, 它的研究对象多以复杂的棋牌类智力游戏为主. 已经得到解决的棋类游戏^[2-3], 几乎全部都应归功于机器博弈近半个世纪的发展. 计算机解决问题的优势在于能把不易解析的问题, 借助于现代计算机的运算速度优势枚举出所有的合理情形而得解; 然而, 博弈问题的复杂程度决定了它不能过度依赖机器的计算能力. 许多待解决的或已经解决的棋类, 其状态空间复杂度或博弈树复杂度, 都不低于宇宙全部粒子总数的数量级. 值得注意的是, 经过领域知识的约束、增强知识有助于博弈问题的求解. 而应用领域知识的前提依赖于对问题的

良好理解和建立恰当的问题描述模型. 根据连珠棋类的特点, 如棋盘较大, 以及行、列、对角线上的规律明显的特征, 本文给出了一种普遍适于连珠棋的高效的局面表示方法.

1 六子棋简介

$C(m, n, k, p, q)$ 表示一族 k 子棋游戏^[4], $C(15, 15, 5, 1, 1)$ 表示广为流传的五子棋. 其中, 更为有趣的是六子棋^[4-5], 它可以形式化地表示成 $C(m, n, 6, 2, 1)$. 和五子棋相比, 六子棋规则更简单, 也更公平^[6]. 在六子棋中, 对弈的双方分别执黑子和白子. 在 $m \times n$ 的棋盘上, 除了黑方

收稿日期: 2008-04-27

基金项目: 国家自然科学基金资助项目(60774097); 辽宁省博士启动基金资助项目(20061017).

作者简介: 徐长明(1978—), 男, 黑龙江齐齐哈尔人, 东北大学博士研究生; 马宗民(1965—), 男, 山东金乡人, 东北大学教授, 博士生导师; 徐心和(1940—), 男, 黑龙江哈尔滨人, 东北大学教授, 博士生导师.

第一步落 $q=1$ 颗子外, 双方轮流下 $p=2$ 颗子. 在水平、垂直、对角线方向, 率先成连续不间断的 $k=6$ 子序列者胜. 六子棋不存在吃子; 有子的交叉点不能落子; 棋盘大小无限制, 通常在 19×19 棋盘上下六子棋. 六子棋的复杂度高于迄今所有已解决的棋类, 状态空间复杂度和博弈树复杂度分别为 10^{172} 和 10^{140} , 是现阶段的机器博弈较为理想的研究对象之一. 本文主要讨论 $C(n, n, 6, 2, 1)$, 但方法和结论都可被其他的连珠棋所借鉴.

2 一般的局面表示方法

2.1 数组表示法

棋盘中的各交叉点有三种状态, 不妨令 0 表示空(未放置棋子), 1 表示有黑子, 2 表示有白子. 数组表示法的基本思想是: 以交叉点对应的数组索引值来表达物理位置, 以交叉点对应的元素值表达状态(空、黑子、白子). 令 $V=\{0, 1, 2\}$, 棋盘的第 i 个交叉点的状态 $s_i \in V$. 任何 $C(n, n, 6, 2, 1)$ 的棋局都可以表示成一个 $n \times n$ 的向量:

$$S = (s_0, s_1, s_2, \dots, s_i, \dots, s_{n \times n - 1}).$$

采用这种表示方法时, 想知道任意两个元素 s_i 和 s_j 是否共线, 要通过 i 和 j 之间的数值规律来判断, 数组表示法是一种原始、低效的表示方法.

2.2 比特棋盘表示法

最早采用比特棋盘结构^[7]的是西洋跳棋程序. 1960 年, 前苏联的 KAISSA 国际象棋小组率先在国际象棋程序中采用比特棋盘^[8]. 近年来, 比特棋盘已成为众多高水平博弈程序的重要性能优化手段.

在比特棋盘中, 用 1 b 代表棋局中的 1 个位置. 国际象棋有 12 种棋子, 分别为每种棋子建立一张 64 b 的比特棋盘. 此外, 还需要一些辅助的比特棋盘, 如: 所有黑子的比特棋盘, 所有棋子的比特棋盘等. 该方法至少包括以下优点: 充分利用计算机位级别上的并行处理能力, 主流的个人计算机都能同时处理 32 或 64 b 数据; 诸如“车的所有可行着法”、“马的所有吃子着法”、“是否将军”这类问题只需要两个或两个以上的比特棋盘之间的逻辑与、异或、非运算.

六子棋不宜采用比特棋盘, 原因在于: 西洋跳棋、国际象棋、奥塞罗的棋盘比较小, 都是 8×8 大小的, 而六子棋的棋盘大得多; 六子棋的着法不像西洋跳棋、象棋等棋类那么复杂.

3 六子棋棋子之间的基本关系

数组表示法的缺陷在于割裂了棋子之间的天

然联系. 注意到只有共线的六子棋棋子之间才有直接联系, 提出一行(列、交叉点)内的各点之间的直接联系由“棋形”这个概念来表达.

3.1 棋形的基本定义

定义 1 棋形. 由共线的空点和同色棋子所构成的最长的连续序列, 称之为棋形.

定义 2 棋形的长度. 棋形 p 中交叉点的个数称为棋形的长度, 记为 $|p|$. 根据规则, $|p| < k$ 时, p 是没用的. 以后限定: 称序列 p 是一个棋形, 必有 $k \leq |p|$.

定义 3 棋形的颜色. 包含黑子(白子)的棋形, 称为黑色(白色)棋形. 没有任何棋子的棋形, 称为空棋形. 空棋形既可能是黑色棋形, 也可能是白色棋形, 甚至两者都是, 要依据具体棋局才能判断.

如图 1 所示, 将 19 个交叉点从 0 到 18 编号. 图中存在且仅存在 3 个棋形: 0~10 的黑色棋形; 12~18 的黑色棋形; 8~18 的白色棋形. 0~7, 4~10 等所表示的连续序列都不是黑色棋形, 因为它们都不符合“最长的连续序列”的约束; 基于同样原因, 也不能认为 12~18 是白色棋形.

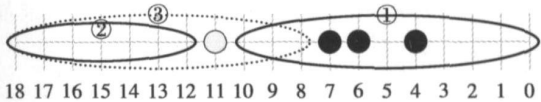


图 1 棋形举例
Fig. 1 Patterns

本文给出的棋形概念至少有三个优点: 使得划分双方影响范围有了无歧义的依据, 即, 哪些空点增强黑方削弱白方, 哪些空点增强白方削弱黑方; 以棋形为基本单位进行表示、存储和分析, 避免了冗余、低效的棋局信息存储模式; 易于采用增量的方法, 从而降低状态更新的代价.

3.2 抽象的棋形表示

比特棋盘法中, 比特级别的并行计算, 紧凑的数据表示思想非常值得借鉴. 这里, 让棋盘上每个交叉点对应一个二进制位, 有子用 1 表示, 无子用 0 表示. 三个棋形的二进制形式如图 2 所示, 等价的 10 进制形式分别为: 208, 0, 8.

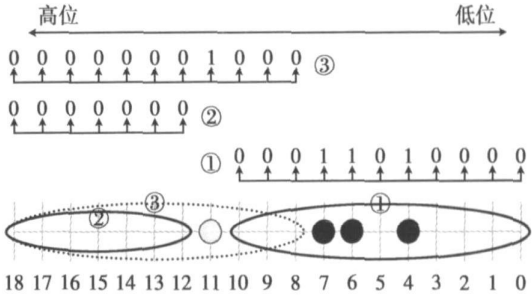


图 2 棋形的二进制表示

Fig. 2 Binary representation of patterns

定理 1 $n \in \mathbf{N}^+$ 且 $6 \leq n$. 任意的黑色棋形 $p, |p|=n$, 集合 $Q_n=\{0,1,2,\dots,2^n-1\}$, 则

$$\phi:p \rightarrow q = \phi(p)$$

是一个从 P 到 Q_n 的一一映射.

显然, 图 2 的映射方法就是定理 1 所描述的一个一一映射关系. 图 2 的棋形有三个基本要素: 颜色 color、长度 length、对应的非负整数值 id. 两个棋形等价的充要条件是: 二者的 color、length 和 id 都完全相等.

定义 4 在 $C(n, n, k, p, q)$ 中, 棋形可以由三元组 $S_1=(\text{color}, \text{length}, \text{id})$ 表示, 其中, $\text{color} \in \{\text{B}, \text{W}\}, \text{length} \in \{k, k+1, \dots, n\}, \text{id} = \phi(p)$.

根据定义 4 和定理 1, 图 2 的 3 个棋形可依次表示为 $(\text{B}, 11, 208), (\text{B}, 7, 0), (\text{W}, 11, 8)$.

定理 2 在 $C(n, n, k, p, q)$ 中, $n \in \mathbf{N}^+$, 且 $k \leq n$. 任意黑色棋形 $p, |p| \leq n, Q = \{0, 1, 2, \dots, 2^{n+1}-2^k-1\}$, 则

$$\Phi:p \rightarrow 2^{|p|}-2^k + \phi(p) = \Phi(p)$$

是一个从 P 到 Q 的一一映射. 其中, $\phi(p)$ 是棋形 p 的二进制数值映射所对应的十进制非负整数.

定理 2 指出, 任意一个定长的黑色棋形都能由一个非负整数惟一表示.

定义 5 棋形可以由二元组 $S_2=(\text{color}, \text{id})$ 表示. 其中, $\text{id} = \Phi(p)$.

根据定义 5 和定理 2, 图 2 的三个棋形又可以依次表示为 $(\text{B}, 2192), (\text{B}, 1984), (\text{W}, 1992)$.

事实上, 还可以将 color 信息与 id 整合到一起, 但这种做法没有明显的优点. 把 color 信息编码到“形状”信息, 会变得不易复用.

3.3 具体的棋形表示

定义 4 或定义 5 所讨论的棋形是游离于具体棋局之外的棋形. 上述定义侧重于通过棋形的 length 和 id 表达形状上的异同, 因而, 是一种抽象的表示. 在具体棋局中, 同时出现的两个棋形, 即使形状, 甚至颜色完全相同, 也必须视为不同的棋形. 定义 6 和定义 7 重新给出棋形的定义. 图 3 中交叉点上的数字是交叉点编码. $n \times n$ 棋盘中的所有交叉点按从右向左, 自底向上递增的顺序从 0 到 n^2-1 进行编码.

定义 6 $C(n, n, k, p, q)$ 中, 棋形 p 由四元组 $S_3=(\text{color}, \text{length}, \text{id}, \text{from})$ 表示. 其中, 棋形的编号 $\text{id} = \phi(p)$; 棋形的起始交叉点 $\text{from} \in \{0, 1, \dots, n^2-1\}$ 总取编号最小的.

定义 7 $C(n, n, k, p, q)$ 中, 棋形 p 由三元组 $S_4=(\text{color}, \text{id}, \text{from})$ 表示. 其中, 棋形的编号 $\text{id} = \Phi(p)$; 起点 from 同定义 6.

定义 6 和定义 7 的意义在于: 不但使得局面中的具体棋形有了惟一的表示, 还使得 id 相同, 但颜色或起点不同的棋形仍然能够复用相同的知识.

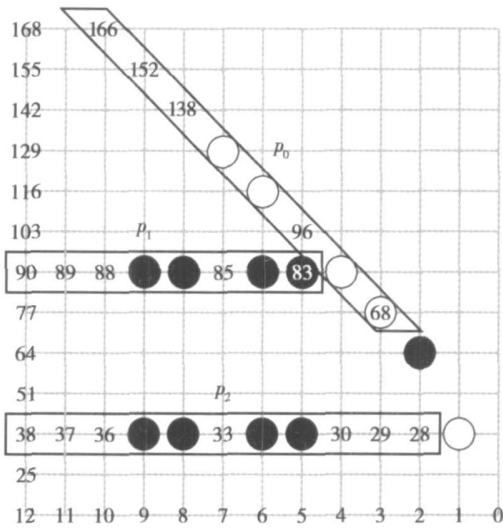


图 3 13×13 六子棋棋局中的棋形
Fig. 3 Patterns on the 13×13 connect 6 board

图 3 中的三个棋形, 按定义 6, 可以分别表示为 $p_0=(\text{W}, 8, 27, 68), p_1=(\text{B}, 8, 27, 83), p_2=(\text{B}, 11, 216, 28)$. 按定义 7, 分别表示为 $p_0=(\text{W}, 215, 68), p_1=(\text{B}, 215, 83), p_2=(\text{B}, 2220, 28)$.

3.4 棋形知识库

全部棋形的知识若能事先保存, 且能方便地访问, 那么, 必将极大提高程序的效率和水平.

由定理 2 和定义 5 知, 在 $C(n, n, k, p, q)$ 中, 可能的全部黑色棋形共 $2^{n+1}-2^k-1$ 个. 因为 id(按定义 7) 相同的黑色棋形和白色棋形复用相同的“形状”知识, 只要分配相同的知识库入口即可. 假设存储每个棋形的知识需要相同的空间, 设为 1 个单位, 表 1 给出了六子棋和五子棋所需知识库的大小.

表 1 几种连珠棋知识库的大小 Table 1 Size of knowledge database in k-in-a-row games				kb
19×19 六子棋	15×15 六子棋	13×13 六子棋	15×15 五子棋	
999.94	63.93	15.94	63.97	

从表 1 不难看出, 连珠棋知识库所需的内存空间是可接受的. 至于在知识库中保存何种知识, 则由程序设计者的领域知识水平, 以及设计者对时间和空间代价的可接受程度决定. 建立棋形知识库至少有两个优点: 将在线计算转化成离线计算; 有利于知识的复用.

4 基于棋形的棋盘表示法

4.1 基于棋形的棋盘表示

对于 $C(n, n, k, p, q)$, 容易得到下述结论.

1) 存在 $6n-4k+2$ 个可容纳棋形的线, 即, n 个行, n 个列, $2n-2k+1$ 个 45° 对角线, $2n-2k+1$ 个 135° 对角线.

2) 任一条线上, 最多可容纳 $(n+1)/(k+1)_\downarrow$ 个黑色棋形和 $(n+1)/(k+1)_\uparrow$ 个白色棋形.

令 L 表示一行中的所有棋形:

$$L = (b_0, b_1, \dots, b_i, \dots, b_{(n+1)/(k+1)_\downarrow-1}, w_0, w_1, \dots, w_i, \dots, w_{(n+1)/(k+1)_\uparrow-1}).$$

式中: b_i 和 w_i 分别代表一条线上的第 i 个黑色棋形和第 i 个白色棋形. 编号 i 意味着, 它是从行的起始点(交叉点编号最小的点)开始的第 i 个该颜色棋形. 当实际的黑色棋形个数 $n < (n+1)/(k+1)_\downarrow$ 时, 令 $b_n = \text{NULL}$, $b_{(n+1)} = \text{NULL}$, \dots , $b_{(n+1)/(k+1)_\downarrow-1} = \text{NULL}$, 用以表明这几个棋形不存在; 同理, 对白色棋形也有类似解释.

定义 8 $C(n, n, k, p, q)$ 中的一个局面 Q , 可以表示为

$$Q = (L_0, L_1, \dots, L_i, \dots, L_{6n-4k+1}).$$

式中: L_i 代表第 i 条线.

4.2 建立棋形与交叉点之间的关联

尽管棋形体现了棋子间的内在联系, 但是, 棋盘状态的演化却是受交替著子驱动的. 也就是说, 选出最佳着法才是棋局分析和博弈树搜索的最终目的; 因此, 必须保持棋形和点之间的关联关系, 并且, 相关的信息能自由地相互转换.

完成上述目标, 至少下述操作是必要的: 接受任意一个交叉点编号, 查询出经过它的(最多四条)全部的线的编号; 接受任意一个以定义 6 的形式给出的棋形, 求出棋形内各交叉点的编号.

为了加速转换, 还可以增加一些辅助的数据表, 或保存中间结果的数据结构.

5 增量更新

在博弈树搜索过程中, 局面状态的更新、恢复是最为频繁的操作之一. 棋局状态的变化, 是由新增的或拿走的棋子引起的. 在局面中只有该棋子所在的 4 个方向的线上的棋形会发生变化, 其他的棋形都不受任何影响. 一般地, 当博弈树中因状

态变化而执行局面状态更新操作时, 只要更新定义 8 所描述的数据结构即可, 但由于一些相关辅助数据结构的存在, 还必须把它们也同步更新到一致的状态上.

由于采用了适宜增量更新的数据结构, 程序的其他组成部分, 如静态估值和搜索相关的模块也可以采用增量更新的方法, 从而全面提高效率.

6 结 论

本文提出了一种新的六子棋数据表示方法, 它能很好地应用在六子棋等连珠棋类中. 该方法的关键是: 数据结构依赖于棋子间内在的联系——棋形, 而不是依赖于分散的单个棋子. 它的优点在于: 在程序执行过程中始终维护棋子之间的全部基本关系, 棋形建立了局面的数据表示和领域知识的紧密联系; 棋形知识库将在线计算转化成离线计算, 还能够复用棋形知识, 从而进一步提高效率; 增量的方法降低了棋局状态更新的代价. 本文的方法和结论可扩展到 $C(n, n, k, p, q)$ 所表达的一族连珠棋类.

参考文献:

- [1] 徐心和, 王骥. 中国象棋计算机博弈关键技术分析[J]. 小型微型计算机系统, 2006, 27(6): 961-969.
(Xu Xin-he, Wang Jiao. Key technologies analysis of Chinese chess computer game [J]. Journal of Chinese Computer Systems, 2006, 27(6): 961-969.)
- [2] van den Herik J, Uiterwijk J, van Rijswijk J. Games solved: now and in the future[J]. Artificial Intelligence, 2002, 134(1/2): 277-311.
- [3] Allis L V. Searching for solutions in games and artificial intelligence[D]. Maastricht: University of Limburg, 1994.
- [4] Wu I C, Huang D Y. A new family of k -in-a-row games[C]// The 11th Advances in Computer Games Conference. Taipei, 2005: 180-194.
- [5] Wu I C, Huang D Y, Chang H C. Connect 6[J]. ICGA Journal, 2005, 28(4): 234-242.
- [6] Yu H M, Chun T S. On the fairness and complexity of generalized k -in-a-row games[J]. Theoretical Computer Science, 2007, 385: 88-100.
- [7] Heinz E A. How dark thought plays chess[J]. ICCA Journal, 1997, 20(3): 167-176.
- [8] Pablo S S, Ramón G, Fernando M, et al. Efficient search using bitboard models[C]// International Conference on Tools with Artificial Intelligence. Washington D C: IEEE, 2006: 132-138.